

**Elektrische Eigenschaften****Electrical properties**

Höchstzulässige Werte		Maximum rated values		
Periodische Spitzensperrspannung	repetitive peak reverse voltage	$t_{vj} = -40^{\circ}\text{C} \dots t_{vj\max}$	$V_{RRM}$	600, 800 V 1200, 1400 V 1600 V
Stoßspitzenspannung	non repetitive peak reverse voltage	$t_{vj} = +25^{\circ}\text{C} \dots t_{vj\max}$	$V_{RSM} = V_{RRM}$	+ 100 V
Durchlaßstrom-Grenzeffektivwert	RMS forward current		$I_{FRMSM}$	140 A
Dauergrenzstrom	average forward current	$t_c = 100^{\circ}\text{C}$	$I_{FAVM}$	90 A
Stoßstrom-Grenzwert	surge current	$t_{vj} \leq 25^{\circ}\text{C}, t_p = 10 \text{ ms}$ $t_{vj} = t_{vj\max}, t_p = 10 \text{ ms}$ $t_{vj} \leq 25^{\circ}\text{C}, t_p = 10 \text{ ms}$ $t_{vj} = t_{vj\max}, t_p = 10 \text{ ms}$	$I_{FSM}$	2400 A 2050 A
Grenzlastintegral	$\int i^2 dt$ -value		$\int i^2 dt$	28800 A <sup>2</sup> s 21000 A <sup>2</sup> s

**Charakteristische Werte****Characteristic values**

Durchlaßspannung	forward voltage	$t_{vj} = t_{vj\max}, i_F = 300 \text{ A}$	$V_F$	max.	1,42 V
Schleusenspannung	threshold voltage		$V_{(TO)}$		0,75 V
Ersatzwiderstand	slope resistance		$r_T$		1,9 mΩ
Sperrstrom	reverse current	$t_{vj} = t_{vj\max}, V_R = V_{RRM}$	$i_R$	max.	10 mA
Isolations-Prüfspannung	insulation test voltage	RMS, f = 50 Hz, t = 1 min	$V_{ISOL}$		2,5 kV

**Thermische Eigenschaften****Thermal properties**

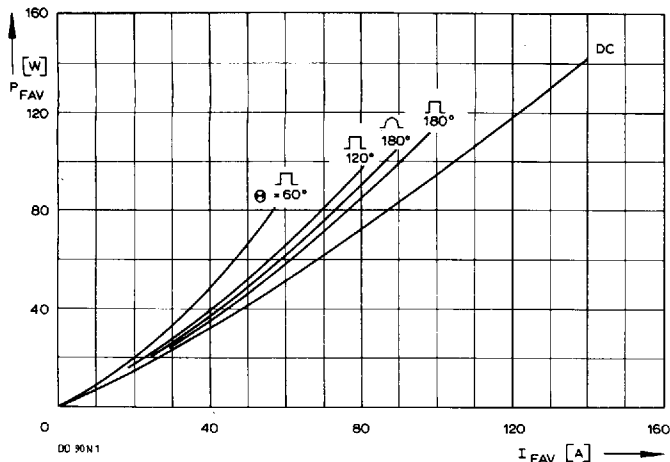
Innerer Wärmewiderstand	thermal resistance, junction to case	$\Theta = 180^{\circ}\text{el}$ , sinus: pro Modul/per module DC: pro Zweig/per arm pro Modul/per module pro Zweig/per arm	$R_{thJC}$	max.	0,24 °C/W 0,48 °C/W 0,225 °C/W 0,45 °C/W
Übergangs-Wärmewiderstand	thermal resistance, case to heatsink	pro Modul/per module pro Zweig/per arm	$R_{thCK}$	max.	0,05 °C/W 0,10 °C/W
Höchstzul. Sperrsichttemperatur	max. junction temperature		$t_{vj\max}$		150°C
Betriebstemperatur	operating temperature		$t_{cop}$		-40°C ... +150°C
Lagertemperatur	storage temperature		$t_{sig}$		-40°C ... +150°C

**Mechanische Eigenschaften****Mechanical properties**

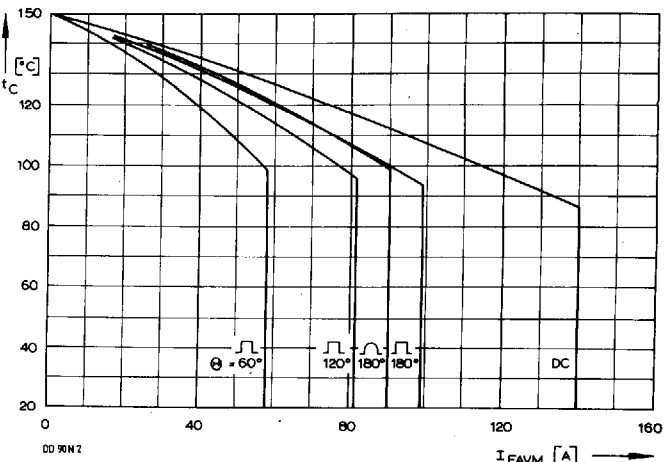
Si-Elemente glaspassiviert, Lötkontakt	Si-pellets glass-passivated, soldered contact				
Innere Isolation	internal insulation				$\text{Al}_2\text{O}_3$
Anzugsdrehmomente	tightening torques				
mechanische Befestigung	mounting torque	Toleranz/tolerance ± 15%	M1		4 Nm
elektrische Anschlüsse	terminal connection torque	Toleranz/tolerance + 5%/-10%	M2		4 Nm
Gewicht	weight		G		typ. 160 g
Kriechstrecke	creepage distance				12,5 mm
Schwingfestigkeit	vibration resistance	f = 50 Hz			5 · 9,81 m/s <sup>2</sup>
Maßbild	outline				1

Recognized by UNDERWRITERS LABORATORIES INC.

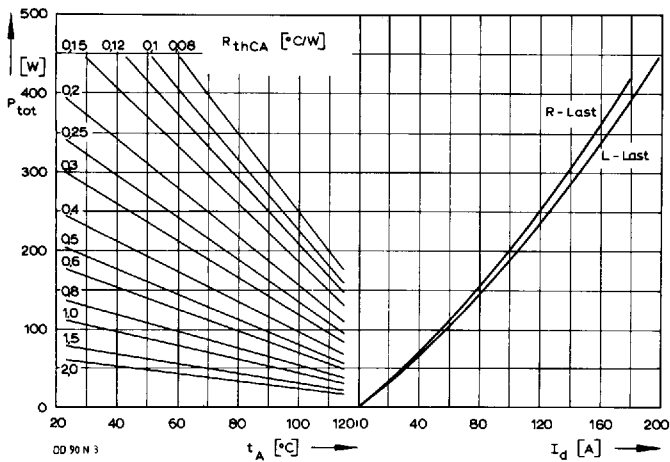
## DD 90 N



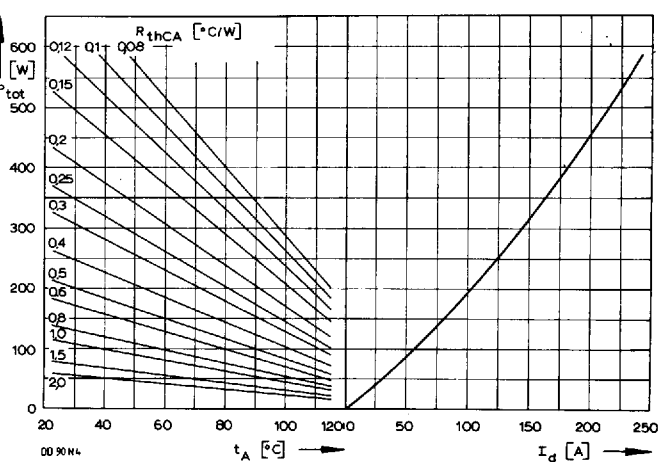
Bild/Fig. 1  
Durchlaßverlustleistung  $P_{FAV}$  eines Zweiges  
Forward power loss  $P_{FAV}$  per arm



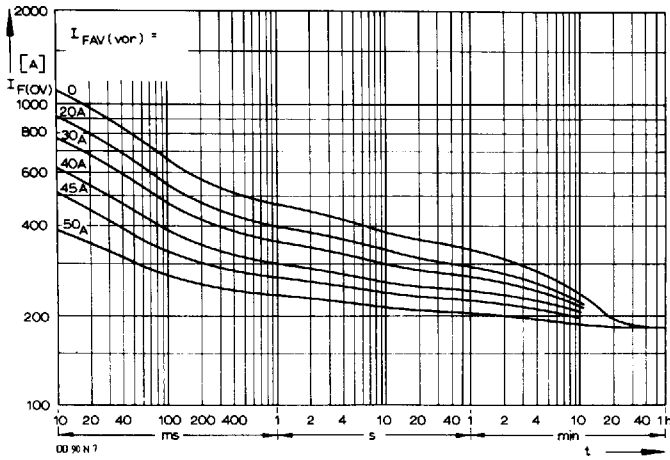
Bild/Fig. 2  
Höchstzulässige Gehäusetemperatur  $t_C$  in Abhängigkeit vom Zweigstrom  
Maximum allowable case temperature  $t_C$  versus current per arm



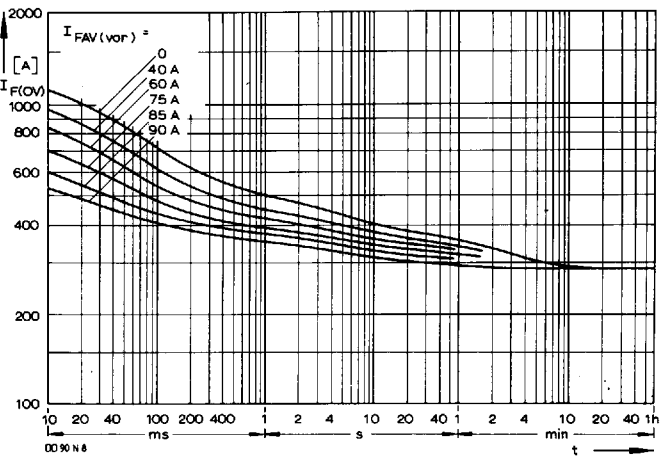
Bild/Fig. 3  
B2 – Zweiipuls-Brückenschaltung  
Höchstzulässiger Ausgangstrom  $I_d$  in Abhängigkeit von der Umgebungs-temperatur  $t_A$ .  
B2 – Two-pulse bridge circuit  
Maximum allowable output current  $I_d$  versus ambient temperature  $t_A$ .  
Parameter: Wärmewiderstand zwischen Powerblock und Umgebung/  
thermal resistance case to ambient  $R_{thCA}$



Bild/Fig. 4  
B6 – Sechspuls-Brückenschaltung  
Höchstzulässiger Ausgangstrom  $I_d$  in Abhängigkeit von der Umgebungs-temperatur  $t_A$ .  
B6 – Six-pulse bridge circuit  
Maximum allowable output current  $I_d$  versus ambient temperature  $t_A$ .  
Parameter: Wärmewiderstand zwischen Powerblock und Umgebung/  
thermal resistance case to ambient  $R_{thCA}$

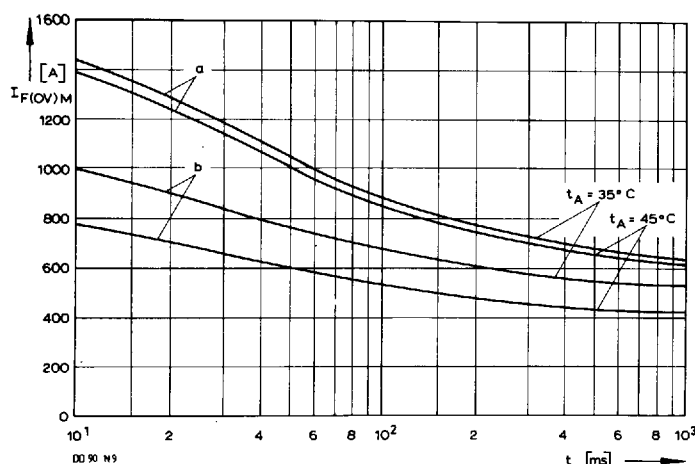


Bild/Fig. 5  
B2 – Zweiipuls-Brückenschaltung/Two-pulse bridge circuit  
Überstrom je Zweig  $I_{F(OV)}$  bei Luftselbstkühlung,  $t_A = 45^\circ\text{C}$ , Kühlkörper KP0,33S.  
Overload on-state current per arm  $I_{F(OV)}$  at natural cooling,  $t_A = 45^\circ\text{C}$ ,  
heat sink type KP0.33S.  
Parameter: Vorlaststrom je Zweig/pre-load current per arm  $I_{FAV(vor)}$



Bild/Fig. 6  
B2 – Zweiipuls-Brückenschaltung/Two-pulse bridge circuit  
Überstrom je Zweig  $I_{F(OV)}$  bei verstärkter Luftkühlung,  $t_A = 35^\circ\text{C}$ ,  
Kühlkörper KP0,33S.  
Overload on-state current per arm  $I_{F(OV)}$  at forced cooling,  $t_A = 35^\circ\text{C}$ ,  
heat sink type KP0.33S.  
Parameter: Vorlaststrom je Zweig/pre-load current per arm  $I_{FAV(vor)}$

## DD 90 N



Bild/Fig. 7

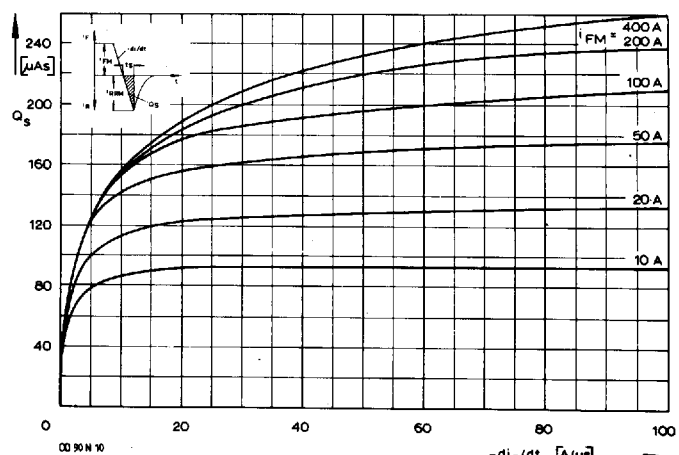
Grenzstrom je Zweig  $I_{F(OV)M}$  bei Luftselbstkühlung,  $t_A = 45^\circ C$  und verstärkter Luftkühlung,  $t_A = 35^\circ C$ , Kühlkörper KP.033S,  $V_{RM} = 0.8 V_{RRM}$ .

Limiting overload on-state current per arm  $I_{F(OV)M}$  at natural ( $t_A = 45^\circ C$ ) and forced ( $t_A = 35^\circ C$ ) cooling, heatsink type KP.033 S,  $V_{RM} = 0.8 V_{RRM}$ .

a – Belastung nach Leerlauf/current surge under no-load conditions

b – Belastung nach Betrieb mit Dauergrenzstrom  $I_{FAM}$

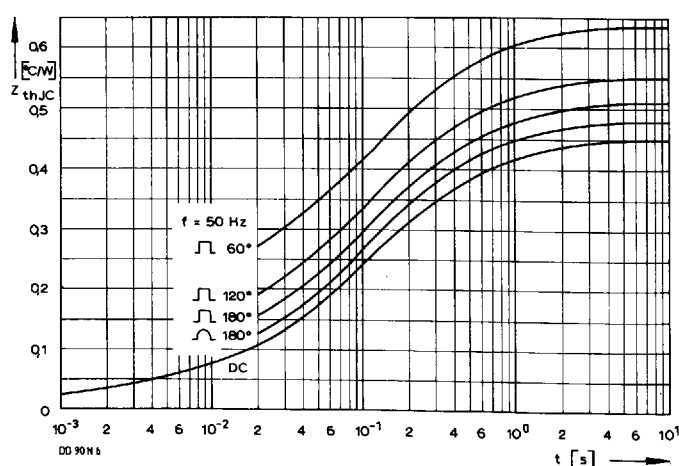
Current surge occurs during operation at limiting mean on-state current rating  $I_{FAM}$



Bild/Fig. 8

Nachlaufladung  $Q_S$  in Abhängigkeit von der abkommunizierenden Stromsteilheit  $-di_F/dt$  bei  $t_{vj \max}$ .

Lag charge  $Q_S$  versus the rate of decay of the on-state current  $-di_F/dt$  at  $t_{vj \max}$ .



Bild/Fig. 9

Transienter innerer Wärmewiderstand je Zweig  $Z_{(th)JC}$ .

Transient thermal impedance, junction to case, per arm  $Z_{(th)JC}$ .

Pos. n	1	2	3	4	5
$R_{thn}$ [ $^\circ C/W$ ]	0,0135	0,0292	0,1097	0,2198	0,0778
$\tau_n$ [s]	0,00055	0,0031	0,044	0,187	1,25

$$Z_{thJC} = \sum_{n=1}^{n_{\max}} R_{thn} (1 - e^{-t/\tau_n})$$

Transienter Wärmewiderstand  $Z_{thJC}$  pro Zweig für DC.

Transient thermal impedance  $Z_{thJC}$  per arm for DC.